

ЛЕКЦИИ №12-13. МОДЕЛИ НА ОСНОВЕ ДУЧП. МЕТОДЫ ПОСТРОЕНИЯ РАЗНОСТНЫХ СХЕМ

При выбранном шаблоне разностные схемы могут быть составлены несколькими методами: непосредственной разностной аппроксимации, неопределенных коэффициентов, интегро- интерполяционным. У этих методов есть свои особенности и области применения.

1. Метод разностной аппроксимации

Данный метод применяют для уравнений с гладкими коэффициентами в регулярных областях на прямоугольных сетках. При использовании этого метода дифференциальные операторы непосредственно заменяют разностными аналогами, как это было сделано выше при получении схем в предыдущих лекциях. Метод сложно использовать для уравнений с разрывными коэффициентами, на косоугольных сетках и т.д.

Этим методом можно получить схемы повышенной точности в крайних узлах при постановке граничных условий, содержащих производные решения.

Пусть для уравнения

$$\frac{\partial u(x, t)}{\partial t} = a \frac{\partial^2 u(x, t)}{\partial x^2} + f(x, t)$$

при $x = 0$ поставлено краевое условие

$$\left. \frac{\partial u}{\partial x} \right|_{0,t} = \alpha u(0, t). \quad (1)$$

Если аппроксимировать производную односторонней разностью $\frac{\partial u}{\partial x} \approx \frac{\hat{u}_1 - \hat{u}_0}{h}$, то граничное условие примет вид

$$\frac{\hat{y}_1 - \hat{y}_0}{h} = \alpha \hat{y}_0.$$

В соответствии с формулой Тейлора

$$\bar{u}_1 = \bar{u}_0 + h \left. \frac{\partial u}{\partial x} \right|_{0,t+\tau} + \frac{h^2}{2!} \left. \frac{\partial^2 u}{\partial x^2} \right|_{0,t+\tau} + O(h^3) \quad (2)$$

Тогда невязка в начальном узле x_0 будет следующей

$$\begin{aligned} \psi_0 = & \left(\left. \frac{\partial u}{\partial x} - \alpha u \right|_{0,t+\tau} - \left(\frac{\bar{u}_1 - \bar{u}_0}{h} - \alpha \bar{y}_0 \right) \right) = \left(\left. \frac{\partial u}{\partial x} - \alpha u \right|_{0,t+\tau} - \right. \\ & \left. - \left(\frac{\bar{u}_0 + h \frac{\partial u}{\partial x} + \frac{h^2}{2!} \frac{\partial^2 u}{\partial x^2} + O(h^3) - \bar{u}_0}{h} - \alpha \bar{u}_0 \right) \right) = -\frac{h}{2} \frac{\partial^2 u}{\partial x^2} + O(h^2) = O(h) \end{aligned}, \quad (3)$$

т. е. невязка имеет первый порядок малости, который оказался более низким, чем порядок аппроксимации разностной схемы для рассматриваемого дифференциального уравнения.

Получим разностное краевое условие с порядком аппроксимации $O(h^2)$. Выразим в разложении (2) производную $\frac{\partial u}{\partial x}$ из (1), а производную $\frac{\partial^2 u}{\partial x^2}$ из дифференциального уравнения

$$\frac{\partial u}{\partial x} = \alpha \bar{u}_0, \quad \frac{\partial^2 u}{\partial x^2} = \frac{1}{a} \frac{\partial u}{\partial t} - \frac{f(x,t)}{a}.$$

Тогда из (2) имеем

$$\begin{aligned} \bar{u}_1 = & \bar{u}_0 + h \alpha \bar{u}_0 + \frac{h^2}{2!} \left(\frac{1}{a} \frac{\partial u}{\partial t} - \frac{f_0}{a} \right) + O(h^3) = \bar{u}_0 + h \alpha \bar{u}_0 + \frac{h^2}{2!} \left(\frac{1}{a} \frac{\bar{u}_0 - u_0}{\tau} + O(\tau) - \frac{f_0}{a} \right) + \\ & + O(h^3) \end{aligned}$$

Таким образом, получаем краевое условие вида

$$\frac{\bar{u}_1 - \bar{u}_0}{h} = \alpha \bar{u}_0 + \frac{h}{2} \left(\frac{\bar{u}_0 - u_0}{a \tau} - \frac{f_0}{a} \right) + O(\tau + h^2),$$

и разностный аналог записывается следующим образом:

$$\frac{\bar{y}_1 - y_0}{h} = \alpha \bar{y}_0 + \frac{h}{2} \left(\frac{\bar{y}_0 - y_0}{a\tau} - \frac{f_0}{a} \right) \quad (4).$$

Разностное уравнение (4) имеет второй порядок аппроксимации относительно шага h .

Приведем разностное уравнение (4) к виду, удобному для реализации метода прогонки.

$$\alpha_0 \bar{y}_0 + \alpha_1 \bar{y}_1 = \beta_0,$$

где

$$\alpha_0 = 1 + h\alpha + \frac{h^2}{2a\tau}, \alpha_1 = -1, \beta_0 = \frac{h^2}{2a\tau}(y_0 + f_0 \tau).$$

Записывая формулу прогонки в виде

$$\bar{y}_0 = \xi_1 \bar{y}_1 + \eta_1,$$

получим выражения для начальных прогоночных коэффициентов при вычислении массивов прогоночных коэффициентов по рекуррентным формулам

$$\xi_1 = -\frac{\alpha_1}{\alpha_0}, \quad \eta_1 = \frac{\beta_0}{\alpha_0}.$$

2. Метод неопределенных коэффициентов

Суть метода состоит в том, что на выбранном шаблоне сетки составляют линейную комбинацию значений сеточной функции в узлах и получают выражение для соответствующей невязки, причем коэффициенты сформированной линейной комбинации находят из условия, чтобы невязка имела наиболее высокий порядок малости относительно шагов по координатам. В качестве примера получим методом неопределенных коэффициентов разностную схему для уравнения

$$\frac{\partial u(x, t)}{\partial t} = a \frac{\partial^2 u(x, t)}{\partial x^2} + f(x, t)$$

на неявном шаблоне I, положив для простоты $f(x, t) = 0$.

Составим линейную комбинацию значений разностного решения в узлах шаблона:

$$a_1 \bar{y}_{n-1} + a_2 \bar{y}_n + a_3 \bar{y}_{n+1} + a_4 y_n - \varphi_n = 0.$$

Выполняя разложение решения в ряд Тейлора около узла (x_n, t_{m+1}) , получаем

$$\bar{u}_{n\pm 1} = \bar{u}_n \pm h u_x(x_n, t_{m+1}) + \frac{1}{2} h^2 u_{xx}(x_n, t_{m+1}) + \dots$$

$$u_n = \bar{u}_n - \tau u_t(x_n, t_{m+1}) + \dots$$

Невязку разностной схемы определяем следующим образом

$$\begin{aligned} \psi &= (Au - f) - (A_h u - \varphi_h) = (u_t - a u_{xx})|_{x_n, t_{m+1}} - f(x_n, t_{m+1}) - \\ &- (a_1 \bar{u}_{n-1} + a_2 \bar{u}_n + a_3 \bar{u}_{n+1} + a_4 u_n - \varphi_n) = (u_t - a u_{xx})|_{x_n, t_{m+1}} - f(x_n, t_{m+1}) - \\ &- (a_1 + a_2 + a_3 + a_4) \bar{u}_n + (a_1 - a_3) h u_x - \frac{1}{2} (a_1 + a_3) h^2 u_{xx} + a_4 \tau u_t + O(\tau^2 + h^3) - \\ &- f(x_n, t_{m+1}) + \varphi_n \end{aligned}$$

Чтобы минимизировать невязку, следует положить

$$a_1 + a_2 + a_3 + a_4 = 0, \quad a_1 - a_3 = 0, \quad \frac{1}{2} (a_1 + a_3) h^2 = -a,$$

$$a_4 \tau = -1, \quad \varphi_n = f(x_n, t_{m+1}).$$

Выписанные соотношения приводят к следующим формулам для неизвестных коэффициентов схемы:

$$a_1 = a_3 = -\frac{a}{h^2}, \quad a_2 = \frac{2a}{h^2} + \frac{1}{\tau}, \quad a_4 = -\frac{1}{\tau}.$$

Разностная схема выглядит следующим образом:

$$A_n \bar{y}_{n-1} - B_n \bar{y}_n + C_n \bar{y}_{n+1} = -F_n,$$

где

$$A_n = C_n = -a_1 = \frac{a}{h^2}, \quad B_n = a_2 = \frac{2a}{h^2} + \frac{1}{\tau}, \quad F_n = -(a_4 y_n - \varphi_n) = \frac{1}{\tau} y_n + \varphi_n.$$

Полученная разностная схема совпадает со схемой из предыдущих лекций, составленной методом разностной аппроксимации.

Метод неопределенных коэффициентов достаточно универсален и весьма удобен при формировании разностных схем на косоугольных сетках.

3. Интегро- интерполяционный метод

Этот метод наиболее надежен и применим во всех случаях, даже для уравнений с разрывными коэффициентами.

Обсудим получение данным методом разностной схемы для квазилинейного уравнения параболического типа

$$c(u) \frac{\partial u}{\partial t} = \frac{\partial}{\partial x} \left(k(u) \frac{\partial u}{\partial x} \right) - p(x)u + f(u). \quad (5)$$

Коэффициенты $k(u), c(u)$ и функция $f(u)$ уравнения могут быть кусочно-непрерывными функциями.

Поставим дополнительные условия.

Начальное условие

$$t = 0, \quad u(x, 0) = \mu(x).$$

Краевые условия достаточно общего вида : слева - II рода, справа - III рода

$$x=0, \quad -k(u(0)) \frac{\partial u}{\partial x} = F(t),$$

$$x=l, \quad -k(u(l)) \frac{\partial u}{\partial x} = \alpha(u(l) - \beta)$$

где α, β - известные числа.

Для уравнения (5) непрерывными величинами являются функция $u(x, t)$ и поток

$$F = -k(u) \frac{\partial u}{\partial x}. \quad (6)$$

Тогда уравнение (5) можно переписать в виде

$$c(u) \frac{\partial u}{\partial t} = - \frac{\partial F}{\partial x} - p(x)u + f(u). \quad (7)$$

Для составления разностной схемы выбираем шаблон и связанную с шаблоном ячейку (см. предыдущие лекции). Проводим интегрирование уравнения (7) по ячейке:

$$\int_{x_{n-1/2}}^{x_{n+1/2}} dx \int_{t_m}^{t_{m+1}} c(u) \frac{\partial u}{\partial t} dt = - \int_{t_m}^{t_{m+1}} dt \int_{x_{n-1/2}}^{x_{n+1/2}} \frac{\partial F}{\partial x} dx - \int_{x_{n-1/2}}^{x_{n+1/2}} dx \int_{t_m}^{t_{m+1}} p(x)u dt + \int_{x_{n-1/2}}^{x_{n+1/2}} dx \int_{t_m}^{t_{m+1}} f(u) dt, \quad (8)$$

или

$$\int_{x_{n-1/2}}^{x_{n+1/2}} \bar{c}(\bar{u} - u) dx = \int_{t_m}^{t_{m+1}} (F_{n-1/2} - F_{n+1/2}) dt - \int_{x_{n-1/2}}^{x_{n+1/2}} p \bar{u} \tau dx + \int_{x_{n-1/2}}^{x_{n+1/2}} \bar{f} \tau dx.$$

Здесь при вычислении внутренних интегралов по t справа в уравнении (8) применен метод правых прямоугольников, тем самым следует ожидать порядок точности $O(\tau)$ по переменной t .

Интегралы по x вычислим методом средних, а первый интеграл в правой части (по времени) - по-прежнему, методом правых прямоугольников, получим

$$\bar{c}_n(\bar{y}_n - y_n)h = \tau(\bar{F}_{n-1/2} - \bar{F}_{n+1/2}) - p_n \bar{y}_n \tau h + \bar{f}_n \tau h, \quad (9)$$

Далее учтем, что согласно ранее полученным формулам

$$\bar{F}_{n+1/2} = \bar{\chi}_{n+1/2} \frac{\bar{y}_n - \bar{y}_{n+1}}{h}, \quad \bar{\chi}_{n+1/2} = \frac{h}{\int_{x_n}^{x_{n+1}} \frac{dx}{k(x)}}$$

$$\bar{F}_{n-1/2} = \bar{\chi}_{n-1/2} \frac{\bar{y}_{n-1} - \bar{y}_n}{h}, \quad \bar{\chi}_{n-1/2} = \frac{h}{\int_{x_{n-1}}^{x_n} \frac{dx}{k(x)}}.$$

Подставляя данные выражения для потоков в (9) приведем уравнение к каноническому виду систем с трехдиагональной матрицей

$$\bar{A}_n \bar{y}_{n-1} - \bar{B}_n \bar{y}_n + \bar{D}_n \bar{y}_{n+1} = -\bar{G}_n, \quad (10)$$

где

$$\bar{A}_n = \bar{\chi}_{n-1/2} \frac{\tau}{h},$$

$$\bar{D}_n = \bar{\chi}_{n+1/2} \frac{\tau}{h},$$

$$\bar{B}_n = \bar{A}_n + \bar{D}_n + \bar{c}_n h + p_n h \tau,$$

$$\bar{F}_n = f_n h \tau + \bar{c}_n y_n h.$$

Понятно, что при $c(u)=0$ уравнение (5) переходит в ОДУ, а разностное уравнение (10) при $\bar{c}_n=0$ со всеми своими коэффициентами - в соответствующее разностное уравнение (шаг τ сократится).

Обратим также внимание на то, что в выражение для \bar{G}_n входит y_n с **предыдущего** шага по времени, т.е. без крышки.

Точность полученной разностной схемы $O(\tau + h^2)$.

Получим **разностный аналог краевого условия** при $x=0$ аналогично тому, как это было сделано в предыдущей лекции. Проинтегрируем уравнение (7) на отрезке $[0, x_{1|2}]$ и на временном интервале $[t_m, t_{m+1}]$

$$\int_0^{x_{1/2}} dx \int_{t_m}^{t_{m+1}} c(u) \frac{\partial u}{\partial t} dt = - \int_{t_m}^{t_{m+1}} dt \int_0^{x_{1/2}} \frac{\partial F}{\partial x} dx - \int_0^{x_{1/2}} dx \int_{t_m}^{t_{m+1}} p(x) u dt + \int_0^{x_{1/2}} dx \int_{t_m}^{t_{m+1}} f(u) dt.$$

Приближенно вычисляя интегралы по времени, как и выше, получим

$$\int_0^{x_{1/2}} \bar{c} (\bar{u} - u) dx = - \int_{t_m}^{t_{m+1}} (F_{1/2} - F_0) dt - \int_0^{x_{1/2}} p \bar{u} \tau dx + \int_0^{x_{1/2}} \bar{f} \tau dx.$$

Вычисляем интегралы. Первый интеграл справа, как и ранее, находим методом правых прямоугольников, а остальные - методом трапеций

$$\frac{h}{4} [\bar{c}_{1/2} (\bar{y}_{1/2} - y_{1/2}) + \bar{c}_0 (\bar{y}_0 - y_0)] = - (\bar{F}_{1/2} - \bar{F}_0) \tau - (p_{1/2} \bar{y}_{1/2} + p_0 \bar{y}_0) \tau \frac{h}{4} + (\bar{f}_{1/2} + \bar{f}_0) \tau \frac{h}{4}.$$

Подставляя в данное уравнения выражение для потока $\bar{F}_{1/2}$, учитывая, что $\bar{F}_0 = F(t_{m+1}) = \bar{F}$, и заменяя $\bar{y}_{1/2} = \frac{\bar{y}_0 + \bar{y}_1}{2}$, $y_{1/2} = \frac{y_0 + y_1}{2}$, найдем разностный аналог краевого условия

$$\begin{aligned} & \left(\frac{h}{8} \bar{c}_{1/2} + \frac{h}{4} \bar{c}_0 + \bar{\chi}_{1/2} \frac{\tau}{h} + \frac{\tau h}{8} p_{1/2} + \frac{\tau h}{4} p_0 \right) \bar{y}_0 + \left(\frac{h}{8} \bar{c}_{1/2} - \bar{\chi}_{1/2} \frac{\tau}{h} + \frac{\tau h}{8} p_{1/2} \right) \bar{y}_1 = \\ & = \frac{h}{8} \bar{c}_{1/2} (y_0 + y_1) + \frac{h}{4} \bar{c}_0 y_0 + \bar{F} \tau + \frac{\tau h}{4} (\bar{f}_{1/2} + \bar{f}_0) \end{aligned} \quad (11)$$

Отсюда ищутся начальные значения прогоночных коэффициентов.

Легко видеть, что при $c(u)=0$ формула (11) переходит в ранее полученную формулу при рассмотрении ОДУ.

Разностный аналог краевого условия при $x = l$ получается аналогичным образом, если проинтегрировать уравнение (7) на отрезке $[x_{N-1/2}, x_N]$ и учесть, что поток

$$\bar{F}_N = \alpha (\bar{y}_N - \beta), \text{ а } \bar{F}_{N-1/2} = \bar{\chi}_{N-1/2} \frac{\bar{y}_{N-1} - \bar{y}_N}{h}.$$

В итоге система квазилинейных разностных уравнений примет канонический вид

$$\begin{cases} \bar{K}_0 \bar{y}_0 + \bar{M}_0 \bar{y}_1 = \bar{P}_0, \\ \bar{A}_n \bar{y}_{n-1} - \bar{B}_n \bar{y}_n + \bar{D}_n \bar{y}_{n+1} = -\bar{F}_n, & 1 \leq n \leq N-1, \\ \bar{K}_N \bar{y}_N + \bar{M}_{N-1} \bar{y}_{N-1} = \bar{P}_N \end{cases} \quad (12)$$

Самый простой способ решения таких систем - это брать коэффициенты уравнений с предыдущего временного слоя (убираются крышки над коэффициентами). Система уравнений становится линейной и легко решается методом прогонки. Однако более выгоден нелинейный вариант разностной схемы, т.к. при использовании нелинейного варианта все вычисления можно проводить с большим шагом по времени, чем в линейном случае. Поэтому нелинейная схема оказывается предпочтительнее, несмотря на ее большую громоздкость и сложность.

Алгоритмы решения систем типа (12) в нелинейном случае описаны ранее. Все, что там сказано, применимо и здесь. Так, можно использовать расчет с использованием релаксации в ходе итерационной процедуры. Отметим основные особенности алгоритма применительно к рассматриваемым уравнениям в частных производных.

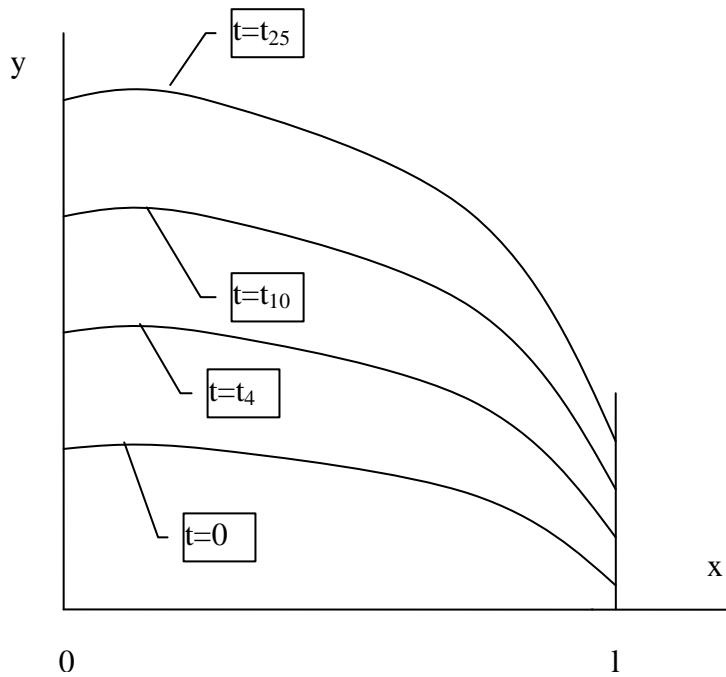
В методе простых итераций система (12) решается многократно на **каждом шаге** по времени, т.е. для получения решения \bar{y}_n , $n=0...N$ в момент времени $t = t_{m+1}$ итерационная процедура организуется по схеме

$$\bar{A}_n^{s-1} \bar{y}_{n+1}^s - \bar{B}_n^{s-1} \bar{y}_n^s + \bar{D}_n^{s-1} \bar{y}_{n-1}^s = -\bar{F}_n^{s-1},$$

здесь s - номер итерации.

В качестве начального приближения \bar{y}_n^0 задается сошедшееся решение \bar{y}_n с предыдущего шага $t = t_m$, т.е. $\bar{y}_n^0 = \bar{y}_n$.

В итоге для каждого момента времени $t = t_m, m=1,2,...M$ получаем разностное решение \bar{y}_n . Набор таких решений для всех $t_m, m=1,2,...M$ соответствует функции двух переменных $u(x_n, t_m)$, являющейся решением исходного дифференциального уравнения (5).



Отметим также, что нелинейная система (12) может быть решена путем применения линеаризации методом Ньютона (лекция №8) .

На вышеприведенном рисунке схематично иллюстрируется одна из возможных форм визуализации результатов расчетов. Приведены разностные решения \bar{y}_n системы (12) в разные моменты времени. Момент $t=0$ соответствует начальному условию, т.е. $y_n = \mu(x_n)$. Далее приведены решения для $t=t_4=4\tau$, $t=t_{10}=10\tau$, $t=t_{25}=25\tau$ и т.д. до момента времени окончания счета. Здесь шаг по времени τ считается постоянным, т.е. $\tau = \text{const}$. Постоянство шага не является обязательным, и в зависимости от скорости изменения функции во времени шаг может, как уменьшаться, так и увеличиваться.

Результат расчета может быть представлен также в виде кривых зависимости решения уравнений от времени t для фиксированных значениях переменной x .

В заключение лекции рассмотрим вариант записи уравнений в **криволинейных** координатах: цилиндрических или сферических. В простом случае линейного уравнения имеем

$$\frac{\partial u}{\partial t} = -\frac{1}{r^p} \frac{\partial}{\partial r}(r^p F) + f(r, t),$$

$$F = -k(r, t) \frac{\partial u}{\partial r}.$$

Здесь $p=0, 1, 2$ для плоской, цилиндрической и сферической геометрии, соответственно.

Применим интегро - интерполяционный метод. Для этого проинтегрируем заданное уравнение по ячейке, аналогично тому, как это было сделано ранее

$$\int_{r_{n-1/2}}^{r_{n+1/2}} r^p dr \int_{t_m}^{t_{m+1}} \frac{\partial u}{\partial t} dt = - \int_{t_m}^{t_{m+1}} dt \int_{r_{n-1/2}}^{r_{n+1/2}} \frac{1}{r^p} \frac{\partial}{\partial r} (r^p F) r^p dr + \int_{t_m}^{t_{m+1}} dt \int_{r_{n-1/2}}^{r_{n+1/2}} f(r, t) r^p dr ,$$

или

$$\int_{r_{n-1/2}}^{r_{n+1/2}} (\bar{u} - u) r^p dr = \int_{t_m}^{t_{m+1}} (r_{n-1/2}^p F_{n-1/2} - r_{n+1/2}^p F_{n+1/2}) dt + \int_{t_m}^{t_{m+1}} dt \int_{r_{n-1/2}}^{r_{n+1/2}} f(r, t) r^p dr .$$

Выполняя те же вычисления, которые мы проводили выше и вводя параметр σ на шеститочечном шаблоне получим

$$(\bar{y}_n - y_n) V_n = \tau \left[\sigma (r_{n-1/2}^p \hat{F}_{n-1/2} - r_{n+1/2}^p \hat{F}_{n+1/2}) + (1 - \sigma) (r_{n-1/2}^p F_{n-1/2} - r_{n+1/2}^p F_{n+1/2}) \right] + \varphi_n , \quad (13)$$

где

$$V_n = \frac{1}{p+1} (r_{n+1/2}^{p+1} - r_{n-1/2}^{p+1}) .$$

Потоки $\hat{F}_{n-1/2}, \hat{F}_{n+1/2}, F_{n-1/2}, F_{n+1/2}$ выписаны выше.

Подставляя в (13) выражения для потоков, получаем разностную схему

$$\begin{aligned} (\bar{y}_n - y_n) V_n = & \\ = \tau \left[\sigma (r_{n-1/2}^p \chi_{n-1/2} \frac{\bar{y}_{n-1} - \bar{y}_n}{h} - r_{n+1/2}^p \chi_{n+1/2} \frac{\bar{y}_n - \bar{y}_{n+1}}{h}) + \right. & \\ \left. + (1 - \sigma) (r_{n-1/2}^p \chi_{n-1/2} \frac{y_{n-1} - y_n}{h} - r_{n+1/2}^p \chi_{n+1/2} \frac{y_n - y_{n+1}}{h}) \right] + \varphi_n & \end{aligned}$$

Приведем результаты по сходимости разностного решения к точному.

Будем считать, что функции $k(r, t)$ и $f(r, t)$, а также их первые и вторые производные кусочно-непрерывны, причем точки разрыва неподвижны. Выберем неравномерную сетку, такую, чтобы узлы попадали на точки разрыва. Тогда выписанная схема при выполнении условия устойчивости $\sigma \geq \frac{1}{2} - \frac{1}{4\tau} \min \frac{h^2}{k}$ равномерно сходится на указанной сетке с точностью $O(\tau^p + h^2)$, причем $p=2$ при весе $\sigma = \frac{1}{2}$ и $p=1$ при $\sigma \neq \frac{1}{2}$.